

## 射流中に設置された円柱に作用する抗力特性

防衛大学校建設環境工学科 学生会員 ○秦 元介  
防衛大学校建設環境工学科 正会員 林建二郎

### 1. 目的

河道内の洪水流やダムや堤防の決壊流れ、および津波・高潮の来襲による非定常な遡上流れによる各種陸上構造物や植生・樹木等に作用する流体力特性の把握は、これら柱状物体が有する耐流特性や流れの抵抗則の評価において重要である。一様流速分布を有する定常流中の2次元、3次元の静止物体に作用する流体力特性の把握に比べて、自由表面や底面境界を有する開水路流れ中に置かれた3次元物体である柱状体に作用する流体力特性の把握や評価法の確立は不十分である。本研究は、開水路中に非水没状態で鉛直設置した単独円柱に作用する抗力の計測評価を、常流と射流域で行ったものである。

### 2. 実験方法

実験には、長さ40m、幅0.8m、高さ1mの回流装置付き2次元水槽内的一部4m区間を嵩上げした水平床の開水路を用いた。本開水路に広幅堰を設けその下流に射流を発生させた。流量と堰高さを調整し射流のFr数を変化させた。広幅堰を取り除き常流の擬似等流を発生させた。開水路幅の中央に外径D=3cm、長さ30cmのアクリルパイプ製円柱を鉛直設置した。本直円柱の上端を3分力計に設置し、円柱に作用する全抗力 $F_x$ を計測した。円柱パイプの一箇所に圧力計を設置し、円柱を回転し円柱表面の圧力分布を計測した。円柱表面に設けた圧力孔の直径は1mmである。圧力孔の位置は水路床面から上方4cmである。

レーザー流速計と超音波水位計を用いて、直円柱の真横27cmの位置で水深方向流速分布と代表水深 $H$ を計測した。流れ水深 $d$ の4割の位置での流速を断面平均流速 $U_m$ とし、代表主流速とした。実験に用いたFr数( $=U_m/(gd)^{1/2}$ )の範囲は0.5~3である。水深と円柱径の比 $H/d$ は1.25~4である。

### 3. 結果および考察

開水路流れのFr数および非水没円柱の全抗力係数 $C_d$ を(1)式、(2)式で定義する。

$$F_r = U_m / (gd)^{0.5} \quad (1)$$

$$C_d = 2F_x / (\rho gdDU^2) \quad (2)$$

式中、 $U$ =代表主流速度、 $g$ =重力加速度、 $\rho$ =水の密度である。円柱径 $D$ と水深 $d$ の積 $d \times D$ は、水中にある円柱部の投影面積である。代表主流速 $U$ は、床面から約 $0.4d$ の高さに主流速の時間平均値である。

開水路の定常流中に置かれた非水没円柱の抗力係数 $C_d$ と $F_r$ 数の関係を $d/D$ をパラメーターとして図-1に示す。図中には、 $d/D=2.5$ のHsiehの実験結果<sup>1)</sup>

を緑実線で示す。本実験値の水深・円柱径比が小さい $d/D=1.1\sim4.5$ の場合においては、 $F_r=0.5\sim0.8$ 付近でHsiehの実験結果と同様にピーク値を示している。Hsiehは、 $d/D$ が小さい場合に生じるこのピーク値の出現は造破抵抗に起因すると指摘している。一方、本実験値の $d/D=4.5\sim35$ の場合においては、このようなピーク値の出現は認められない。 $F_r > 1$ となる射流域では $C_d < 1$ となり、 $F_r$ の増加に伴い $C_d=0.5$ に向かって漸近的に減少している。この原因としては、 $F_r > 1$ となる射流中に置かれた非水没円柱の背面では、円柱後流渦による圧力低下により水位低下が生じ大気と接する円柱背面積部分が相対的に増える結果、円柱背面での圧力

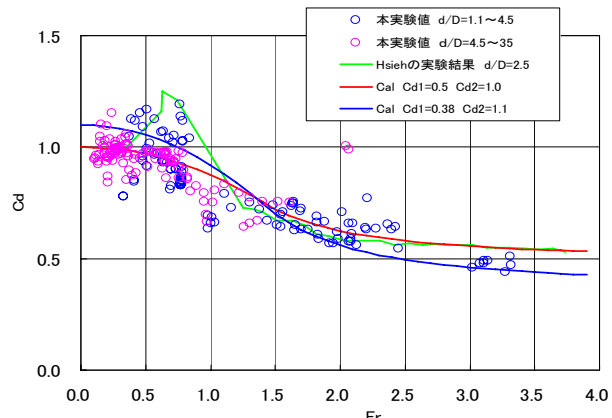


図-1 開水路中の非水没円柱の全抗力係数 $C_d$ と $F_r$ 数

キーワード 圓柱 抗力係数 射流 フルード数 圧力分布 空洞域

連絡先 〒239-8686 横須賀市走水1-10-20 防衛大学校建設環境工学科 TEL 046-841-3810 E-mail: hayashik@nda.ac.jp

低下が没水時に比べて減少するためと考えられる。

定常流れに置かれた非水没円柱まわりの流況の概略図を図-2に示す。流れのよどみ点となる円柱前縁部では、動圧  $\rho = u^2/2$  の増加が生じる結果、水面は盛り上がる。盛り上がり高さを  $\alpha u^2/(2g)$  とすると  $\alpha$  は約 1 以である。一方、円柱表面からの境界層剥離により円柱後面部には、渦流を含む死水領域が生じ、圧力  $p$  は減少する。その結果、円柱後方の後流域での水面は低下する。この水面低下が生じる領域を空洞部呼ぶ。円柱後縁部で低下高さを  $\beta u^2/(2g)$  とすると、亜臨界領域 ( $300 < Re$  数  $< (2 \sim 3.8) \times 10^5$ ) 流れにおいては、 $\beta =$  約 1.2 である。 $Fr = \sqrt{2}$  になると、円柱後縁空洞部の厚さ ( $= d \times Fr^2/2$ ) は床面に達する。

次に、 $Fr = 0.53$  の場合における非没水円柱まわりの圧力分布を図-8 にそれぞれ示す。図中に示す  $C_p$  は、(2)式で示される圧力係数であり、円柱表面の時間平均圧力  $p$  を円柱から遠く離れた主流部の圧力  $p_0$  と主流速度  $U$  を用いて無次元化したものである。

$$C_p = (p - p_0) / (0.5\rho U_m^2) \quad (2)$$

図中には、剥離渦が生じないボテンシャル流れの  $C_p$  の分布を黒実線で。一様流中に円柱を設置した場合の  $C_p$  の分布を赤色の×印で示している。

図中の B) は、空洞部の中間位置(高さ)での  $C_p$  の分布を示している。この  $C_p$  を円柱表面周囲に積分して求めた局所抗力係数は  $C_{ds} = 0.71$  であった。C) は円柱後面空洞部の自由水面の位置(高さ)での  $C_p$  の分布を示している。この  $C_p$  を円柱表面周囲に積分して求めた局所抗力係数は  $C_{ds} = 1.1$  であった。

図-8 で求めた非水没円柱の局所抗力係数  $C_{ds}$  を水深方向に積分すると、円柱没水部の全抗力係数  $C_d$  は、(3), (4)式で示される<sup>2)</sup>。主流の水表面  $z=0$  での局所抗力係数を  $C_{d1}$  とする。円柱後縁の空洞部の水面およびその下方の水没部での抗力係数を  $C_{d2}$  とする。空洞部区間での局所抗力係数  $C_{ds}$  は、水深方向に  $C_{d1}$  から  $C_{d2}$  へと直線変化する。 $Fr = \sqrt{2}$  になると、円柱後縁空洞部の厚さは床面に達する。

$0 < Fr$  数  $< \sqrt{2}$  の場合

$$C_d = (C_{d1} - C_{d2}) Fr^2/4 + C_{d2} \quad (3)$$

$\sqrt{2} < Fr$  数の場合

$$C_d = C_{d1} + (C_{d2} - C_{d1}) / Fr^2 \quad (4)$$

円柱没水部の全抗力係数  $C_d$  の、(3), (4)式による

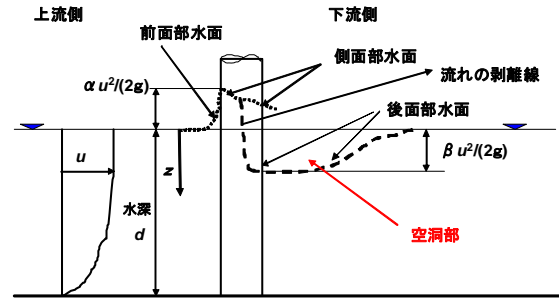
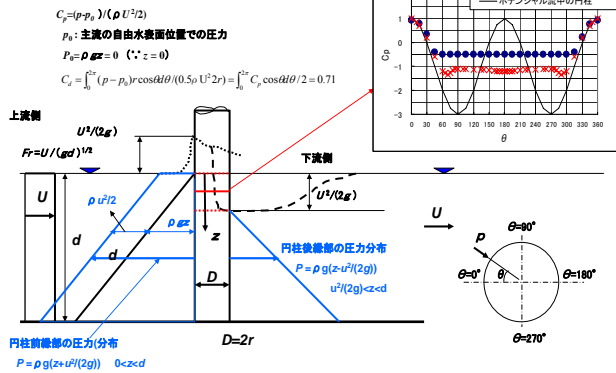


図-2 定常流れにおける非水没円柱まわりの流況

B) 円柱後面の空洞部の中間位置(高さ)  
 $z = U^2 / (2g)$



C) 円柱後面の自由水面の位置(高さ)  $z = U^2 / (2g)$

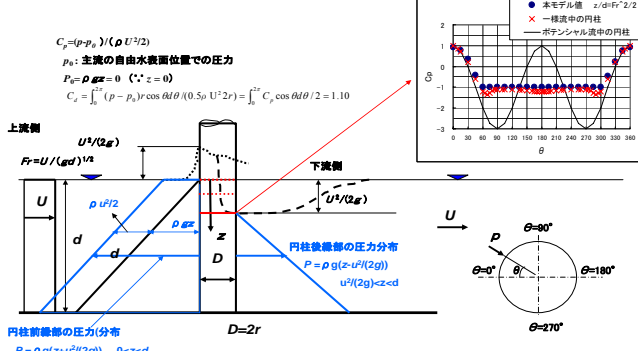


図-3 開水路中の非水没円柱まわりの圧力係数  $C_p$

計算値と、実測値の比較を図-1 に示す。図中、赤実線で示す計算値は、 $Fr > 1$  の射流域では、 $Fr$  数の増加に伴い全抗力係数  $C_d$  が減少する特性を、本モデル式は上手く評価している。

#### 参考文献

- 1) Hsieh, T.: Resistance of cylindrical piers in open-channel flow, ASCE, Vol.90, No. HY1, pp. 447-465, 1964.
- 2) 林建二郎、浅野敏之、多田 肇、寺本行芳：海岸林に作用する流体力と抵抗則評価、土木学会論文集 B3(海洋開発), Vol. 68, No. 2, pp.I114-I119, 2012.